

## ИССЛЕДОВАНИЕ БЛИЖНЕГО ПОЛЯ, ДИФРАГИРОВАННОГО НА ДИЭЛЕКТРИЧЕСКОМ КЛИНЕ

*A. A. Александрова, H. A. Хижняк  
(Харьков)*

В работе [1] с помощью метода, основанного на использовании интегральных уравнений макроскопической электродинамики [2], решена задача дифракции плоской электромагнитной волны определенной поляризации на прямоугольном диэлектрическом клине. В данной работе приведены выражения для полного электромагнитного поля как внутри диэлектрического клина произвольного угла раскрыва, так и вне его, полученные тем же методом.

**1. Структура поля внутри диэлектрического клина.** Пусть на диэлектрический клин с произвольным углом раскрыва  $\alpha$  у вершины, диэлектрическая  $\epsilon$  и магнитная  $\mu$  проницаемости которого в общем случае могут быть комплексными и произвольными по величине, падает плоская электромагнитная волна. Не нарушая общности задачи, выберем поляризацию падающей волны такой, что поле имеет отличные от нуля компоненты

$$\mathbf{E}_0 = (E_{x0}, 0, 0), \quad \mathbf{H} = (0, H_{\rho 0}, H_{\varphi 0}),$$

где

$$E_{x0}(\rho, \varphi) = E_{x0} e^{ik\rho \cos(\varphi - \varphi_0)};$$

$\varphi_0$  — угол падения, отсчитываемый от грани  $\varphi = 0$  (фиг. 1).

Тогда поле внутри клина будет иметь ту же поляризацию и ненулевые компоненты поля  $\mathbf{E} = (E_x, 0, 0)$ ,  $\mathbf{H} = (0, H_\rho, H_\varphi)$ , где  $H_\rho$ ,  $H_\varphi$  — цилиндрические компоненты поля; причем поля представлены в виде совокупности плоских преломленных волн и краевой волны от ребра в виде интеграла Зоммерфельда

$$(1.1) \quad \begin{aligned} E_x(\rho, \varphi) &= \sum_j A_j e^{ik\rho \sqrt{\epsilon\mu} \cos(\varphi - \psi_j)} + \int_{G_0} e^{ik\rho \sqrt{\epsilon\mu} \cos(\varphi - \eta)} f(\eta) d\eta; \\ H_\varphi(\rho, \varphi) &= -\sqrt{\frac{\epsilon}{\mu}} \left\{ \sum_j A_j e^{ik\rho \sqrt{\epsilon\mu} \cos(\varphi - \psi_j)} \cos(\psi_j - \varphi) + \right. \\ &\quad \left. + \int_{G_0} e^{ik\rho \sqrt{\epsilon\mu} \cos(\varphi - \eta)} \cos(\eta - \varphi) \cdot f(\eta) d\eta \right\}; \\ H_\rho(\rho, \varphi) &= \sqrt{\frac{\epsilon}{\mu}} \left\{ \sum_j A_j e^{ik\rho \sqrt{\epsilon\mu} \cos(\varphi - \psi_j)} \sin(\psi_j - \varphi) + \right. \\ &\quad \left. + \int_{G_0} e^{ik\rho \sqrt{\epsilon\mu} \cos(\varphi - \eta)} \sin(\eta - \varphi) \cdot f(\eta) d\eta \right\}. \end{aligned}$$

Рассмотрим первую часть решения в виде совокупности плоских преломленных волн. Ввиду того, что при освещении клина падающей волной возникает три ситуации в зависимости от освещенности граней клина, рассмотрим в отдельности каждую из них.

Если падающая волна освещает только одну грань клина ( $\varphi = 0$  или  $\varphi = \alpha$ ), то и внутри клина возбуждается лишь одна преломленная

волна (лежащая соответственно в области  $0 \leq \varphi \leq \psi_1$  или в области  $\psi_2 \leq \varphi \leq \alpha$ ). Амплитуды волн определяются формулами, приводящими к формулам Френеля: при освещении грани  $\varphi = 0$

$$(1.2) \quad A_1 = \frac{2E_{0x} \sin \varphi_0 \cdot \cos \psi_1 \cdot \mu}{\sin(\varphi_0 + \psi_1) + (\mu - 1) \sin \varphi_0 \cdot \cos \psi_1};$$

при освещении грани  $\varphi = \alpha$

$$(1.3) \quad A_2 = \frac{2E_{0x} \sin(\alpha - \varphi_0) \cdot \cos(\alpha - \psi_2) \cdot \mu}{\sin(2\alpha - \varphi_0 - \psi_2) + (\mu - 1) \sin(\alpha - \varphi_0) \cdot \cos(\alpha - \psi_2)},$$

где углы преломления  $\psi_1, \psi_2$ , отсчитываемые от грани  $\varphi = 0$ , определяются соотношениями, выражаяющими хорошо известные законы преломления электромагнитных волн на границе с диэлектриком при выбранной схеме отсчета углов

$$(1.4) \quad \sqrt{\varepsilon\mu} \cos \psi_1 = \cos \varphi_0, \quad \sqrt{\varepsilon\mu} \cos(\alpha - \psi_2) = \cos(\alpha - \varphi_0).$$

В общем случае освещения обеих граней клина ( $0 \leq \varphi_0 \leq \alpha$ ) в нем имеются две преломленные волны, амплитуды которых определяются соотношениями (1.2), (1.3). Однако при этом следует иметь в виду различные случаи.

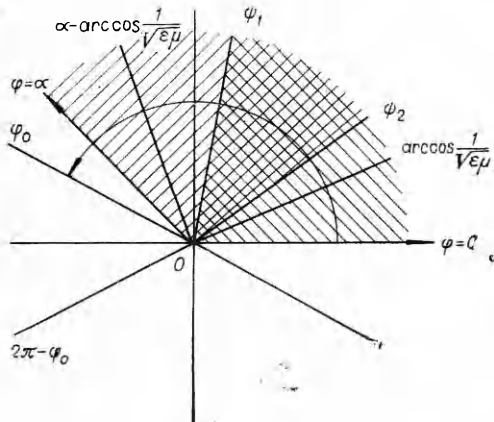
Предположим, что диэлектрический клин изготовлен из материала, для которого  $\varepsilon\mu > 1$ , тогда возможны следующие ситуации.

1. Если  $\alpha < \pi/2$ , то обе преломленные волны присутствуют во всех внутренних точках клина. Следовательно, для каждой из внутренних точек  $r \in V$  преломленная плоская волна имеет вид

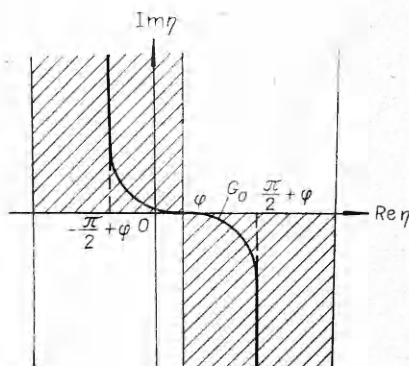
$$(1.5) \quad E_{\text{пл.вн}} = \sum_{j=1}^2 A_j e^{ik\rho \sqrt{\varepsilon\mu} \cos(\psi_j - \varphi)},$$

где  $A_{1,2}, \psi_{1,2}$  определяются формулами (1.2) — (1.4).

2. Если  $\alpha > \pi/2$ , то внутреннюю область клина можно представить состоящей из трех отдельных областей (см. фиг. 1). В первой области существует лишь одна волна, преломленная на грани  $\varphi = \alpha$ , и внутреннюю



Фиг. 1



Фиг. 2

плоскую волну можно представить в виде одного слагаемого

$$E_{\text{пл}} = A_2 e^{ik\rho V \sqrt{\epsilon\mu} \cos(\psi_2 - \varphi)}, \quad \alpha > \varphi > \psi_1.$$

Во второй области  $\psi_1 > \varphi > \psi_2$  присутствуют одновременно обе преломленные волны, и поэтому  $E_{\text{пл}}$  определяется полной суммой (1.5).

В третьей области  $\psi_2 > \varphi > 0$  снова присутствует лишь одна преломленная волна, сформированная первой гранью

$$E_{\text{пл}} = A_1 e^{ik\rho V \sqrt{\epsilon\mu} \cos(\psi_1 - \varphi)}, \quad \psi_2 > \varphi > 0.$$

Если же диэлектрический клип изготовлен из материала менее плотного, чем окружающая среда, то возможны и дополнительные ситуации, которые необходимо рассмотреть особо. В дальнейшем всегда будем предполагать  $\epsilon\mu > 1$ .

Рассмотрим теперь оставшийся член (1.1) в виде интеграла зоммерфельдовского типа с весовой функцией  $f(\eta)$ , задающей краевую волну, которая также в зависимости от угла наблюдения прошедшей волны  $\varphi$  будет определяться различными соотношениями. Прежде чем переходить к конкретным выражениям весовой функции, рассмотрим общий вид решений дифракционной задачи в виде интеграла Зоммерфельда, контур интегрирования которого  $G_0$  представлен на фиг. 2. Решения в виде интеграла Зоммерфельда удовлетворяют всем требованиям, предъявляемым к решениям уравнений Максвелла, представленным в виде интегральных слагаемых.

Можно поверить, что они копечные, непрерывны, однозначны на римановой поверхности при всех  $\rho > 0$ , имеют требуемую особенность при  $\rho = 0$  и удовлетворяют принципу излучения на бесконечности [3].

Непосредственными вычислениями легко убедиться, что дифференциальные уравнения Максвелла

$$(1.6) \quad ik\mu H_\rho = (1/\rho) \partial E_x / \partial \varphi; \quad ik\mu H_\varphi = - \partial E_x / \partial \rho; \\ -ik\epsilon E_x = (1/\rho) \partial (\rho H_\varphi) / \partial \rho - (1/\rho) \partial H_\rho / \partial \varphi$$

удовлетворяются решениями (1.1) независимо от вида функции  $f(\eta)$ .

Выпишем теперь в зависимости от угла наблюдения прошедшей волны весовую функцию, задающую волну от ребра. Рассмотрим общий случай освещения обеих граней клипа. При  $\alpha - \arccos(1/\sqrt{\epsilon\mu}) < \varphi < \alpha$ ,  $0 < \varphi < \arccos(1/\sqrt{\epsilon\mu})$ ,  $\operatorname{Re}\eta = \varphi$  решения представлены разветвленными функциями на римановой поверхности, которая строится над плоскостью комплексного переменного  $\eta(z)$  для функций  $z = \arccos(\sqrt{\epsilon\mu} \times \cos \eta)$ ,  $z = \alpha - \arccos[\sqrt{\epsilon\mu} \cos(\alpha - \eta)]$ :

$$(1.7) \quad f\left(\arccos \frac{\cos(u/n)}{\sqrt{\epsilon\mu}}\right) = \frac{A_j}{2\pi i n} \frac{\sin \frac{\alpha}{n} \sqrt{\epsilon\mu - \cos^2 \frac{u}{n}} \cdot g_p(u, \psi_j)}{\sqrt{\epsilon\mu - \cos^2 \frac{u}{n} + \mu \sin \frac{u}{n}}};$$

(1.8)

$$f\left(\frac{\alpha}{n} - \arccos \frac{\cos\left(\frac{\alpha-u}{n}\right)}{\sqrt{\epsilon\mu}}\right) = - \frac{A_j}{2\pi i n} \frac{\sin \frac{\alpha}{n} \sqrt{\epsilon\mu - \cos^2\left(\frac{\alpha-u}{n}\right)} \cdot g_p(u, \psi_j)}{\left[\sqrt{\epsilon\mu - \cos^2\left(\frac{\alpha-u}{n}\right)} + \mu \sin \frac{u}{n}\right]},$$

где

$$(1.9) \quad g_p(u, \psi_j) = \frac{\left\{(\varepsilon - 1)\mu + (\mu - 1)\sqrt{\varepsilon\mu} \cos\left(\frac{\psi_j - u}{n}\right)\right\}}{\left(\sqrt{\varepsilon\mu} \cos\frac{\psi_j}{n} - \cos\frac{u}{n}\right)\left[\sqrt{\varepsilon\mu} \cos\left(\frac{\alpha - \psi_j}{n}\right) - \cos\left(\frac{\alpha - u}{n}\right)\right]}.$$

При  $\arccos(1/\sqrt{\varepsilon\mu}) < \varphi < \psi_2$ ,  $\psi_1 < \varphi < \alpha - \arccos(1/\sqrt{\varepsilon\mu})$  разветвленные решения переходят в обычные, соответствующие случаю  $j = 1$ ,  $j = 2$

$$(1.10) \quad f\left(\arccos\frac{\cos u}{\sqrt{\varepsilon\mu}}\right) = \frac{A_j}{2\pi i} \frac{\sqrt{\varepsilon\mu - \cos^2 u} \cdot \sin \alpha \cdot g(u, \psi_j)}{(\sqrt{\varepsilon\mu - \cos^2 u} + \mu \sin u)},$$

$$(1.11) \quad f\left(\alpha - \arccos\frac{\cos(\alpha - u)}{\sqrt{\varepsilon\mu}}\right) = -\frac{A_j}{2\pi i} \frac{\sqrt{\varepsilon\mu - \cos^2(\alpha - u)} \cdot g(u, \psi_j) \cdot \sin \alpha}{[\sqrt{\varepsilon\mu - \cos^2(\alpha - u)} + \mu \sin(\alpha - u)]},$$

где

$$(1.12) \quad g(u, \psi_j) = \frac{(\varepsilon - 1)\mu + (\mu - 1)\sqrt{\varepsilon\mu} \cos(\psi_j - u)}{\left(\sqrt{\varepsilon\mu} \cos\frac{\psi_j}{n} - \cos u\right)[\sqrt{\varepsilon\mu} \cos(\alpha - \psi_j) - \cos(\alpha - u)]}.$$

Наконец, при  $\psi_2 < \varphi < \psi_1$  получается обратное решение, соответствующее случаю  $j = 1, 2$ ,

$$\begin{aligned} f\left(\arccos\frac{\cos u}{\sqrt{\varepsilon\mu}}\right) &= \frac{\sin \alpha \sqrt{\varepsilon\mu - \cos^2 u}}{2\pi i (\sqrt{\varepsilon\mu - \cos^2 u} + \mu \sin u)} \sum_{j=1}^2 (-1)^j A_j g(u, \psi_j) \times \\ &\times \frac{\{2u - \alpha + \arccos[\sqrt{\varepsilon\mu} \cos(\alpha - \psi_j)] - \arccos[\sqrt{\varepsilon\mu} \cos \psi_j]\}}{\{\alpha - \arccos(\sqrt{\varepsilon\mu} \cos \psi_j) - \arccos[\sqrt{\varepsilon\mu} \cos(\alpha - \psi_j)]\}}, \\ f\left(\alpha - \arccos\frac{\cos(\alpha - u)}{\sqrt{\varepsilon\mu}}\right) &= -\frac{\sin \alpha \sqrt{\varepsilon\mu - \cos^2(\alpha - u)}}{2\pi i [\sqrt{\varepsilon\mu - \cos^2(\alpha - u)} + \mu \sin(\alpha - u)]} \times \\ &\times \sum_{j=1}^2 (-1)^j A_j g(u, \psi_j) \frac{\{2u - \alpha + \arccos[\sqrt{\varepsilon\mu} \cos(\alpha - \psi_j)] - \arccos(\sqrt{\varepsilon\mu} \cos \psi_j)\}}{\{\alpha - \arccos(\sqrt{\varepsilon\mu} \cos \psi_j) - \arccos[\sqrt{\varepsilon\mu} \cos(\alpha - \psi_j)]\}}, \end{aligned}$$

где  $g(u, \psi_j)$  определяется формулой (1.12),  $A_j$  и  $\psi_j$  — (1.2) — (1.4).

Если же освещена одна грань клина ( $\varphi = 0$  или  $\varphi = \alpha$ ), то весовая функция определяется следующими выражениями в зависимости от угла наблюдения прошедшей волны: при  $0 < \varphi < \arccos(1/\sqrt{\varepsilon\mu})$ ,  $\alpha - \arccos(1/\sqrt{\varepsilon\mu}) < \varphi < \alpha$ ,  $f(\eta)$  задается соотношениями (1.7), (1.8) при  $\arccos(i/\sqrt{\varepsilon\mu}) < \varphi < \alpha - \arccos(1/\sqrt{\varepsilon\mu})$ ,  $f(\eta)$  задается соотношениями (1.10), (1.11), причем при освещении грани  $\varphi = 0$   $j = 1$ , при освещении грани  $\varphi = \alpha$   $j = 2$ .

**2. Структура рассеянного поля на диэлектрическом клине.** Общий вид полного электромагнитного поля вне клина следующий: (случай  $\pi \geqslant \varphi_0 \geqslant \alpha$ ,  $\alpha \leqslant 2 \arccos(1/\sqrt{\varepsilon\mu})$ )

$$(2.1) \quad E_x(p, \varphi) = \begin{cases} E_{x0}(p, \varphi) - \frac{E_{x0}\left(\sqrt{\frac{\varepsilon}{\mu}} \sin \psi_1 - \sin \varphi_0\right) e^{i k p \cos(\varphi + \varphi_0)}}{\left(\sqrt{\frac{\varepsilon}{\mu}} \sin \psi_1 + \sin \varphi_0\right)} + P_{Ex}(p, \varphi), & 2\pi - \varphi_0 \leqslant \varphi \leqslant 2\pi, \\ E_{x0}(p, \varphi) + P_{Ex}(p, \varphi), & \varphi_0 \leqslant \varphi \leqslant 2\pi - \varphi_0, \\ P_{Ex}(p, \varphi), & \alpha \leqslant \varphi \leqslant \varphi_0; \end{cases}$$

$$(2.2) \quad H_\rho(\rho, \varphi) = \begin{cases} E_{x_0}(\rho, \varphi) \sin(\varphi_0 - \varphi) + \frac{E_{x_0} \left( \sqrt{\frac{\varepsilon}{\mu}} \sin \psi_1 - \sin \varphi_0 \right) e^{ik\rho \cos(\varphi + \varphi_0)}}{\left( \sqrt{\frac{\varepsilon}{\mu}} \sin \psi_1 + \sin \varphi_0 \right)} \times \\ \quad \times \sin(\varphi + \varphi_0) + P_{H_\rho}(\rho, \varphi), & 2\pi - \varphi_0 \leq \varphi \leq 2\pi, \\ E_{x_0}(\rho, \varphi) \sin(\varphi_0 - \varphi) + P_{H_\rho}(\rho, \varphi), & \varphi_0 \leq \varphi \leq 2\pi - \varphi_0, \\ P_{H_\rho}(\rho, \varphi), & \alpha \leq \varphi \leq \varphi_0; \end{cases}$$

$$(2.3) \quad H_\varphi(\rho, \varphi) = \begin{cases} -E_{x_0}(\rho, \varphi) \cos(\varphi - \varphi_0) + \frac{\cos(\varphi + \varphi_0) E_{x_0} \left( \sqrt{\frac{\varepsilon}{\mu}} \sin \psi_1 - \sin \varphi_0 \right) e^{ik\rho \cos(\varphi + \varphi_0)}}{\left( \sqrt{\frac{\varepsilon}{\mu}} \sin \psi_1 + \sin \varphi_0 \right)} + \\ \quad + P_{H_\varphi}(\rho, \varphi), & 2\pi - \varphi_0 \leq \varphi \leq 2\pi, \\ -E_{x_0}(\rho, \varphi) \cos(\varphi - \varphi_0) + P_{H_\varphi}(\rho, \varphi), & \varphi_0 \leq \varphi \leq 2\pi - \varphi_0, \\ P_{H_\varphi}(\rho, \varphi), & \alpha \leq \varphi \leq \varphi_0, \end{cases}$$

где

$$(2.4) \quad \begin{aligned} P_{E_x}(\rho, \varphi) &= -\frac{\sin \frac{\alpha}{n}}{4\pi i n \mu} \left\{ \int_{G_1} e^{ik\rho \cos(u+\varphi)} g(u) c(u) du - \int_{G_2} e^{ik\rho \cos(u-\varphi)} g(u) du \right\}, \\ &\quad \varphi \in (\pi, 2\pi); \\ P_{E_x}(\rho, \varphi) &= -\frac{\sin \frac{\alpha}{n}}{4\pi i n \mu} \left\{ \int_{G_1} e^{ik\rho \cos(u-\varphi)} g(u) du - \right. \\ &\quad \left. - \int_{G_2} e^{ik\rho \cos(u+\varphi-2\alpha)} g(u) c(\alpha-u) du \right\}, \quad \varphi \in (\alpha, \pi); \\ P_{H_\rho}(\rho, \varphi) &= \frac{\sin \frac{\alpha}{n}}{4\pi i n \mu} \left\{ \int_{G_1} e^{ik\rho \cos(u+\varphi)} g(u) \sin(u+\varphi) \cdot c(u) du + \right. \\ &\quad \left. + \int_{G_2} e^{ik\rho \cos(u+\varphi)} g(u) \sin(u-\varphi) du \right\}, \quad \varphi \in (\pi, 2\pi); \\ P_{H_\rho}(\rho, \varphi) &= -\frac{\sin \frac{\alpha}{n}}{4\pi i n \mu} \left\{ \int_{G_1} e^{ik\rho \cos(u-\varphi)} g(u) \sin(u-\varphi) du + \right. \\ &\quad \left. + \int_{G_2} e^{ik\rho \cos(u+\varphi-2\alpha)} g(u) \sin(u+\varphi-2\alpha) \cdot c(\alpha-u) du \right\}, \quad \varphi \in (\pi, \alpha); \\ P_{H_\varphi}(\rho, \varphi) &= -\frac{\sin \frac{\alpha}{n}}{4\pi i n \mu} \left\{ - \int_{G_1} e^{ik\rho \cos(u+\varphi)} g(u) \cos(u+\varphi) \cdot c(u) du + \right. \\ &\quad \left. + \int_{G_2} e^{ik\rho \cos(u-\varphi)} g(u) \cos(u-\varphi) du \right\}, \quad \varphi \in (\pi, 2\pi); \end{aligned}$$

$$P_{H_\varphi}(\rho, \varphi) = -\frac{\sin \frac{\alpha}{n}}{4\pi i n u} \left\{ -\int_{G_1} e^{ik\rho \cos(u-\varphi)} g(u) \cos(u-\varphi) du + \right. \\ \left. + \int_{G_2} e^{ik\rho \cos(u+\varphi-2\alpha)} g(u) \cos(u+\varphi-2\alpha) \cdot c(\alpha-u) du \right\}, \quad \varphi \in (\pi, \alpha);$$

$g(u)$  определяется соотношением (1.9),

$$c(u) = \frac{\sqrt{\varepsilon\mu - \cos^2 \frac{u}{n}} - \mu \sin \frac{u}{n}}{\sqrt{\varepsilon\mu - \cos^2 \frac{u}{n}} + \mu \sin \frac{u}{n}},$$

контуры  $G_1$  и  $G_2$  определяются уравнениями кривых соответственно:

$$u = \arccos(\sqrt{\varepsilon\mu} \cos \eta), \quad \eta \in G_0; \\ u = \alpha - \arccos[\sqrt{\varepsilon\mu} \cos(\alpha - \eta)], \quad \eta \in G_0.$$

Можно убедиться, что компоненты рассеянного поля (2.1) — (2.3), полученные с помощью интегральных уравнений Максвелла [2], также удовлетворяют дифференциальным уравнениям Максвелла (1.6).

**3. Структуры полей в окрестности граней диэлектрического клина.** Имея явные выражения для полей во внутренней и внешней областях клина, удовлетворяющие уравнениям Максвелла, можно непосредственно исследовать их структуру в окрестности граeй клина и одновременно проверить их правильность и корректность всей схемы построения решения дифракционной задачи. Для этого необходимо убедиться в том, что построенные решения удовлетворяют граничным условиям на боковых гранях клина

$$E_{t_p} = E_{t_b}, \quad H_{t_p} = H_{t_b}, \quad D_{n_p} = D_{n_b}, \quad B_{n_p} = B_{n_b} \quad \text{при } \varphi = 0, \quad \varphi = \alpha,$$

где  $E_t = E_x$ ,  $H_t = H_\rho$ ,  $B_n = B_\varphi$ .

Для краткости подробные вычисления проведем лишь для двух случаев: получим выражение для  $E_x$  в окрестности грани  $\varphi = 0$  и параллельно установим непрерывность тангенциальной составляющей электрического поля при  $\varphi = 0$  и  $\varphi = \alpha$ . Для этого произведем замену переменной  $\eta - \varphi = u$  в интегральном члене соотношения (1.1) и разложим подынтегральную весовую функцию в ряд Тейлора по малому параметру  $\varphi$ . Ограничивааясь двумя первыми членами ряда, а также подставляя конкретные значения  $A$ ,  $\psi$ ,  $f[\arccos(\cos(u/n)/\sqrt{\varepsilon\mu})]$  в виде (1.1), (1.4), (1.7), получим выражение для внутреннего поля при малых  $\varphi$

$$(3.1) \quad E_x(\rho, 0) = \frac{E_{x_0} e^{ik\rho \cos \varphi_0} 2 \sin \varphi_0}{\left( \sqrt{\frac{\varepsilon}{\mu}} \sin \psi_1 + \sin \varphi_0 \right)} + \\ + \frac{\sin \frac{\alpha}{n}}{2\pi i n} \int_{G_1} \frac{e^{ik\rho \cos u} g(u) \sin \frac{u}{n} du}{\sqrt{\varepsilon\mu - \cos^2 \frac{u}{n}} + \mu \sin \frac{u}{n}} + \varphi I(\rho); \\ I(\rho) = \int_{\eta \in G_0 - \varphi} e^{ik\rho \sqrt{\varepsilon\mu} \cos \eta} f'_\varphi(\eta) d\eta.$$

Первое выражение (2.1) для  $E_x$ , компоненты рассеянного поля, допускает построение решения на грани  $\varphi = 0$ , где  $P_{E_x}(\rho, \varphi)$  определяется первым соотношением (2.4). Для получения граничного значения поля произведем следующие преобразования. Интегралы приводим к одному контуру интегрирования  $G_1$ , это возможно благодаря тому, что подынтегральная функция аналитична во внутренней области  $D_1^+$  (определенной контуром  $\Gamma = G_1 + G_2$ ). После несложных преобразований найдем, что значение рассеянного поля при малых  $\varphi$  также определяется соотношением (3.1), где

$$I(\rho) = -\frac{\sin \frac{\alpha}{n}}{4\pi i n} \left\{ \int_{(u+\varphi) \in G_1} e^{ik\rho \cos u} |g(u) c(u)|'_\varphi du - \int_{(u-\varphi) \in G_2} e^{ik\rho \cos u} g'_\varphi(u) du. \right.$$

Из (3.1) видно, что на грани  $\varphi = 0$  граничные значения внутреннего и рассеянного полей совпадают.

Аналогичную проверку выполнения условия непрерывности тангенциальной составляющей электрического поля можно произвести на грани  $\varphi = \alpha$  с той лишь разницей, что во внутреннем поле используем выражение для весовой функции в виде (1.8), а в интегральном члене рассеянного поля, для которого последнее выражение (2.1) допускает построение решения на грани  $\varphi = \alpha$ , деформируем контур  $G_1$  в контур  $G_2$ . Тогда граничные значения внутреннего и рассеянного полей на грани  $\varphi = \alpha$  будут совпадать ( $\psi < \alpha$ )

$$E_x(\rho, \alpha) = -\frac{\sin \frac{\alpha}{n}}{2\pi i n} \int_{G_2} \frac{e^{ik\rho \cos(u-\alpha)} g_p(u) \sin\left(\frac{\alpha-u}{n}\right) du}{\sqrt{\epsilon\mu - \cos^2\left(\frac{\alpha-u}{n}\right) + \mu \sin\left(\frac{\alpha-u}{n}\right)}}.$$

Произведя аналогичные действия над остальными компонентами поля (1.1), (2.2), (2.3), можно убедиться в выполнении условий

$$H_{t_p} = H_{t_b}, \quad B_{n_p} = B_{n_b} \text{ при } \varphi = 0, \varphi = \alpha.$$

Если рассмотреть случай, когда переотражений нет, т. е. большие углы раскрытия клина, малые углы падения, отсчитываемые от нормали к поверхности, и т. д., то можно выделить следующие области освещенности во внутреннем и внешнем полях при освещении грани  $\varphi = 0$ . Так, в области тени рассеянного поля при  $\alpha < \varphi < \varphi_0$  имеется лишь краевая волна (при  $k\rho/\epsilon\mu \gg 1$  она имеет вид цилиндрической волны), при  $2\pi - \varphi_0 > \varphi > \varphi_0$  распространяются падающая и краевая волны. Поэтому луч  $\varphi = \varphi_0$  — граница между освещенной областью и областью тени  $\varphi_0 > \varphi > \alpha$ . Аналогично луч  $\varphi = 2\pi - \varphi_0$  — граница между областью, где распространяется отраженная волна ( $2\pi - \varphi_0 < \varphi < 2\pi$ ) и где ее нет ( $\varphi_0 < \varphi < 2\pi - \varphi_0$ ). Во внутренней клиновидной области граница тени  $\varphi = \psi_1$  разбивает физическое пространство на две области:  $0 \leq \varphi \leq \psi_1$  и  $\psi_1 \leq \varphi \leq \alpha$ . В первой из них цилиндрическая волна интерферирует с плоской преломленной волной. В области геометрической тени ( $\psi_1 \leq \varphi \leq \alpha$ ) цилиндрическая волна существует изолированно от других волн. В окрестности границы тени  $\varphi = \psi_1, \varphi_0, 2\pi - \varphi_0$ , т. е. в зоне полутени, поле имеет более сложный характер и не выражается в общем случае через плоские и цилиндрические функции. При более детальном

исследовании краевой волны можно найти, что в окрестности  $\varphi = \psi_1$  поле равно

$$(3.2) \quad - \frac{e^{i(k\rho\sqrt{\varepsilon\mu} - \pi/4) - ik\rho\sqrt{\varepsilon\mu}s_0^2} \sqrt{2\pi} f(\varphi) [\cos(\psi - \varphi) - 1]}{s_0} \int_{\infty s_0}^{\sqrt{2k\sqrt{\varepsilon\mu}} \cdot s_0} e^{ig^2} dg,$$

$$s_0^2 = 2 \sin^2\left(\frac{\psi - \varphi}{2}\right),$$

$f(\varphi)$  определяется соотношением (1.11). Интеграл, входящий в выражение (3.2), представляет собой интеграл Френеля, нижний предел его по абсолютной величине всегда равен бесконечности, а знак его определяется знаком  $\sin[(\psi - \varphi)/2]$ . Поэтому при переходе через границу плоских волн  $\varphi = \psi$  нижний предел меняет знак, и интеграл испытывает конечный разрыв, обеспечивая на границе тени непрерывность дифракционного поля.

Поступила 22 V 1975

#### ЛИТЕРАТУРА

1. Александрова А. А., Хижняк Н. А. Дифракция электромагнитных волн на диэлектрическом клине.— ЖТФ, 1974, т. X, вып. 11.
2. Хижняк Н. А. Функция Грина уравнения Максвелла для неоднородных сред.— ЖТФ, 1958, т. XXVIII, вып. 7.
3. Франк Ф., Мизес Р. Дифференциальные и интегральные уравнения математической физики. Л.—М., ОНТИ, 1937.